

ТОЧНОЕ РЕШЕНИЕ БЛЮМ-ЭМЕРИ-ГРИФФИТС-МОДЕЛИ НА РЕШЕТКЕ БЕТЕ

Н.С.Ананикян, Н.Ш.Измаилян, Р.Р.Щербаков

Ереванский физический институт

375036 Ереван, Армения

Поступила в редакцию 29 апреля 1993 г.

После переработки 2 ноября 1993 г.

Исследована Блюм-Эмери-Гриффитс-модель на подпространстве констант обменных взаимодействий $K = -\ln \cosh J$. Получены точные выражения для свободной энергии, λ -линии фазовых переходов II рода, трикритической точки и критических индексов.

При исследовании модели Изинга со спином 1, предложенной Блюмом, Эмери и Гриффитсом (БЭГ) [1], на шестиугольной и Кагомэ решетках, Хоригути показал, что когда константы дипольного (J) и квадрупольного (K) обменных взаимодействий удовлетворяют условию:

$$K = -\ln \cos hJ, \quad (1)$$

модель сводится к модели Изинга со спином 1/2, но вместо одной критической точки фазового перехода II рода существует целая λ -линия [2-4]. Этот же результат, при условии (1), получен на квадратной решетке [5].

В настоящей работе продолжено исследование ферромагнитной БЭГ-модели на решетке Бете, имеющей бесконечномерную хаусдорфову размерность [6-10]. Рассмотрены критические свойства модели при условии Хоригути (1). Найдено аналитически точное выражение для свободной энергии. В модели обнаружена λ -линия фазовых переходов II рода, которая при координационных числах решетки $q \geq 6$ оканчивается трикритической точкой (см. рисунок).

Статистическая сумма БЭГ-модели имеет вид

$$Z = \sum_{\{S\}} \exp \left[\sum_{\langle ij \rangle} (JS_i S_j + KS_i^2 S_j^2) + \sum_i (hS_i - \Delta S_i^2) \right]. \quad (2)$$

где $S_i = 0, \pm 1$, первое суммирование под знаком экспоненты выполняется по всем линиям решетки, второе – по всем узлам, а внешнее – по всем конфигурациям системы.

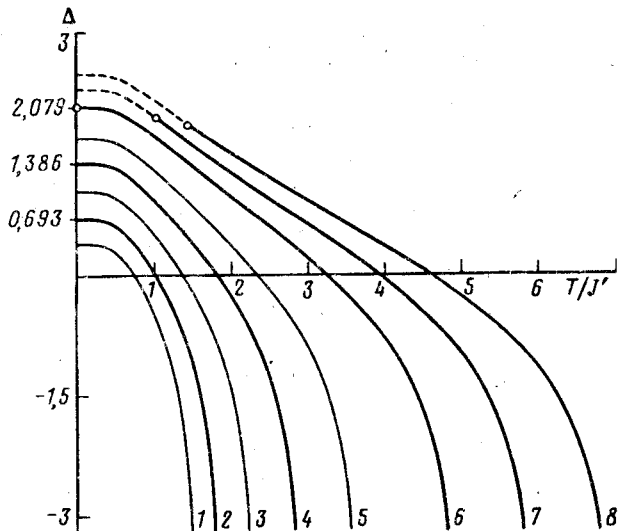
На решетке Бете статистическую сумму (2) можно записать в виде

$$Z_n = \sum_{S_0} \exp[hS_0 - \Delta S_0^2] [g_n(S_0)]^q, \quad (3)$$

где q – координационное число решетки, S_0 – значение спина в центральном узле, $g_n(S_0)$ является статистической суммой на отдельной ветви решетки Бете, а n – число оболочек решетки [11].

Для $g_n(S_0)$ имеем рекуррентное соотношение:

$$g_n(S_0) = \sum_{S_1} \exp[JS_1 S_0 + KS_1^2 S_0^2 + hS_1 - \Delta S_1^2] [g_{n-1}(S_1)]^{q-1}. \quad (4)$$



λ-линии фазовых переходов II рода для различных решеток. Линии 2, 4, 6, 7, 8 получены для решетки Бете с координационным числом q , равным соответственно 3; 4; 6; 7; 8. Линии 1, 3, 5 соответствуют шестиугольной, квадратной и треугольной решеткам. На кривых 6, 7, 8 трикритические точки отмечены жирными точками

где S_1 – значение спина в узле, ближайшем к S_0 .

Для описания модели можно ввести два параметра порядка: намагниченность ($m = \frac{1}{N} \sum_{i=1}^N \langle S_i \rangle$) и квадрупольный момент ($p = \frac{1}{N} \sum_{i=1}^N \langle S_i^2 \rangle$), сопряженные с внешними полями h и Δ , N – число узлов решетки.

В случае, когда решения рекуррентных соотношений (4) в термодинамическом пределе ($n \rightarrow \infty$) сходятся к стабильной точке [11], термодинамические свойства модели полностью определяются уравнениями

$$\exp(2h) = \left(\frac{1+v}{1-v} \right)^{\gamma+1} \frac{v^2(1-p) + v - p \tanh J}{v^2(1-p) - v - p \tanh J}, \quad (5a)$$

$$\exp(2\Delta) = 4(1-v^2)^{\gamma+1} \frac{(1-p)^2}{p^2 - m^2}, \quad (5b)$$

$$(1-p)v^3 - mv^2 - (1+p \tanh J)v - m \tanh J = 0, \quad (5c)$$

где

$$v \equiv \frac{g(-1) - g(+1)}{2g(0)}, \quad \gamma = q - 1.$$

Выражение для свободной энергии модели, приходящейся на один узел, имеет вид

$$\begin{aligned} \frac{f}{k_B T} &= \frac{\gamma-1}{2} \ln(1+v^2 \coth hJ) - \\ &- \ln \left| \frac{1 - \exp(2h)[(1+v)/(1-v)]^\gamma}{1 - v \coth hJ - (1+v \coth hJ) \exp(2h)[(1+v)/(1-v)]^\gamma} \right|. \end{aligned} \quad (6)$$

При нулевом поле h , что соответствует экстремумам свободной энергии Гиббса, уравнения (5) имеют два решения:

$$v = 0, \quad \exp(\Delta) = 2 \frac{1-p}{p}, \quad m = 0 \quad (7a)$$

$$1 - \gamma \tanh J \cdot p + \frac{\gamma}{6} [3(\gamma + 1) - 6p - (\gamma - 1)(\gamma - 2) \tanh J \cdot p] v^2 + O(v^4) = 0, \quad (76)$$

В точке фазового перехода II рода экстремумы свободной энергии Гиббса совпадают. Следовательно, из пересечения решений (7a) и (76) находим:

$$\Delta_\lambda = \ln[2(\gamma \tanh J - 1)], \quad (8a)$$

$$p_\lambda = \frac{1}{\gamma \tanh J}, \quad (8b)$$

Этими выражениями определяются λ -линии фазовых переходов II рода. Условие

$$\left. \frac{\delta \Delta}{\delta p} \right|_{\substack{v=0 \\ m=0}} = \left. \frac{\partial \Delta}{\partial p} \right|_{\substack{m=0 \\ v=0}} + \left. \frac{\partial \Delta}{\partial v^2} \frac{\partial v^2}{\partial p} \right|_{\substack{m=0 \\ v=0}} + \left. \frac{\partial \Delta}{\partial m} \frac{\partial m}{\partial p} \right|_{\substack{m=0 \\ v=0}} = 0$$

на второе решение (7b) обрезает λ -линию в трикритической точке, которая имеет значение

$$\tanh J_{Tr} = \frac{3}{\gamma - 2}, \quad (9a)$$

$$p_{Tr} = \frac{\gamma - 2}{3\gamma}. \quad (9b)$$

Из выражения (9a) видно, что в ферромагнитной БЭГ-модели трикритическая точка существует при $q \geq 6$.

Разложения для полей h и Δ вблизи λ -линии с учетом (8) имеют вид

$$h = m \left\{ -\frac{\gamma}{\gamma + 1} \frac{1}{p_\lambda^2} (p - p_\lambda) + \frac{\gamma}{3(\gamma + 1)^3} \frac{1}{p_\lambda^3} [(\gamma + 2)(\gamma + 1) - 3(\gamma p_\lambda + 1)] m^2 + \right. \\ \left. + O[(p - p_\lambda)^2, \quad m^2(p - p_\lambda), m^4] \right\}, \quad (10a)$$

$$\Delta - \Delta_\lambda = -\frac{1}{p_\lambda(1 - p_\lambda)} (p - p_\lambda) + \frac{\gamma}{\gamma + 1} \frac{1}{2p_\lambda^2} m^2 + \\ + O[(p - p_\lambda)^2, \quad m^2(p - p_\lambda), \quad m^4]. \quad (10b)$$

На λ -линии ($h = 0$, $\Delta = \Delta_\lambda$) имеет место $(p - p_\lambda) \sim m^2$, следовательно, разложения (10) можно переписать в виде

$$h = h_1 m^3 + h_2 m^5 + O(m^7), \quad (11a)$$

$$\Delta - \Delta_\lambda = \Delta_1 m^2 + \Delta_2 m^4 + O(m^6), \quad (11b)$$

где

$$h_1 = \frac{\gamma(\gamma - 1)}{6(\gamma + 1)^3} \frac{1}{p_\lambda^3} [3\gamma p_\lambda - \gamma + 2], \quad \Delta_1 = -\frac{(\gamma - 1)}{6(\gamma + 1)^2} \frac{[3\gamma p_\lambda - \gamma + 2]}{p_\lambda^2(1 - p_\lambda)}.$$

В трикритической точке $h_1 = 0$, $\Delta_1 = 0$, поэтому $m \sim |h|^{1/5}$ ($\delta_{Tr} = 5$), $m \sim |\Delta - \Delta_{Tr}|^{1/4}$ ($\beta_{Tr} = 1/4$), $m \sim |T - T_{Tr}|^{1/2}$ ($\beta = 1/2$), $p - p_{Tr} \sim |h|^{2/5}$, $p - p_{Tr} \sim |\Delta - \Delta_{Tr}|^{\beta_{2Tr}}$ ($\beta_{2Tr} = 1/2$), $p - p_{Tr} \sim |T - T_{Tr}|^{\beta_2}$ ($\beta_2 = 1$).

Интересно отметить, что в ферромагнитной БЭГ-модели, при условии Хоригути, существует трикритическая точка при $q \geq 6$, тогда как на двумерных решетках [2-5] трикритическая точка не была обнаружена.

Эта работа частично поддерживалась Американским Физическим Обществом по программе Сороса, а также Федеральным Министерством Исследований и Технологий по гранту №211-5291 ЕрФИ 1993.

-
1. M.Blume, V.Emery and R.Griffiths, Phys. Rev. A4, 1071 (1971).
 2. T.Horiguchi, Phys. Lett. A113, 423 (1986).
 3. F.Y.Wu, Phys. Lett. A116, 245 (1986).
 4. X.N.Wu and F.Y.Wu, J. Stat. Phys. 50, 41 (1988).
 5. K.F.Tang, Phys. Lett. A133, 183 (1988).
 6. K.G.Chakraborty and J.M.Tucker, Phys. Lett., A111, 205 (1985).
 7. K.G.Chakraborty and J.M.Tucker, Physica A137, 112 (1986).
 8. N.R.Avakian, N.S.Ananikian, and N.Sh.Ismailian Phys. Lett. A150 163 (1990).
 9. N.S.Ananikian, N.R.Avakian, and N.Sh.Ismailian, Physica A172, 391 (1991).
 10. Н.С.Ананикян, Н.Ш.Измаильян, Р.Р.Щербаков, ФТТ 34, 3448 (1992).
 11. Р.Бэкстер, Точно решаемые модели в статистической механике М.: Мир 1985.